

ИССЛЕДОВАНИЕ ПОДАТЛИВОСТИ ГИБКИХ ШЛАНГОВ ГИДРОСИСТЕМ СТАНКОВ И МАШИН

И. А. НЕМИРОВСКИЙ, О. И. ВАСЕНКОВ, Ю. Я. КОМИСАРЕНКО

(Представлена научным семинаром кафедры технологии машиностроения)

В гидросистемах привода и управления машин и станков широко используются гибкие трубопроводы — шланги кордометаллической конструкции.

Известно, что под действием переменного во времени давления гибкие шланги деформируются, вследствие чего объем полости шланга изменяется [1, 2, 3, 4, 5]. Эти изменения объема полости шланга как бы модулируют расход жидкости через шланг, отражаясь на качестве динамических процессов, протекающих в гидросистеме.

Обычно в расчетах динамики гидросистем податливость шлангов и сжимаемость жидкости учитываются постоянным коэффициентом. При этом принимается, что модуль упругости трубопроводов с рабочей жидкостью, выполненных из стальных и медных труб, составляет $E_{tr} = 14000 \div 16000 \text{ кг}/\text{см}^2$, а для гибкого шланга РВД размером $16 \times 29,5 \text{ мм}$ в области давлений $3 \div 7 \text{ кг}/\text{см}^2$ — $E_{шл} = 230 \text{ кг}/\text{см}^2$, в зоне давлений выше $20 \text{ кг}/\text{см}^2$ — $E_{шл} = 1250 \text{ кг}/\text{см}^2$ [4].

Необходимо отметить, что применение термина «модуль упругости трубопровода» представляется нам несколько неудачным, так эта величина зависит не только от модулей упругости рабочей жидкости и материала трубопровода, но и от геометрических размеров последнего. Так же неудачным следует признать и примененный ранее авторами данной статьи термин «условный динамический модуль упругости» [6].

По нашему мнению, следует пользоваться понятием «коэффициент податливости трубопровода с рабочей жидкостью»:

$$k = \frac{dW}{dp} \cdot \frac{1}{W_0}, \quad (1)$$

Где W_0 — первоначальный объем полости шланга;

W — значение объема полости шланга при давлении p . Тогда приращение расхода жидкости через гибкий шланг, вызванное пульсацией давления, будет равно:

$$\Delta Q_{шл} = - \frac{dp}{dt} \cdot k \cdot W_0. \quad (2)$$

Представляет интерес сравнение податливости шлангов различных конструкций и размеров, а также выявление точной зависимости величины податливости от давления. С этой целью авторами произведены

исследования податливости гибких шлангов на установке, схема которой изображена на рис. 1.

В корпус 6 ввернут штуцер 5 гибкого шланга 4. Второй штуцер шланга заглушен пробкой 3, имеющей отверстие, которое перекрывалось винтом 1 с прокладкой 2. В качестве манометра использовался мембранный датчик, состоящий из корпуса 7, мембранны 10, крышки 9. Величина давления фиксировалась по величине деформации мембранны, которая измерялась индикатором 8. Плунжер 15 диаметром d_n был притерт к отверстию в корпусе 6 так, что зазор между плунжером и отверстием составлял 0,004 мм.

Для повышения герметичности плунжер был дополнительно уплотнен круглым резиновым кольцом 16. При давлении в шланге и корпусе,

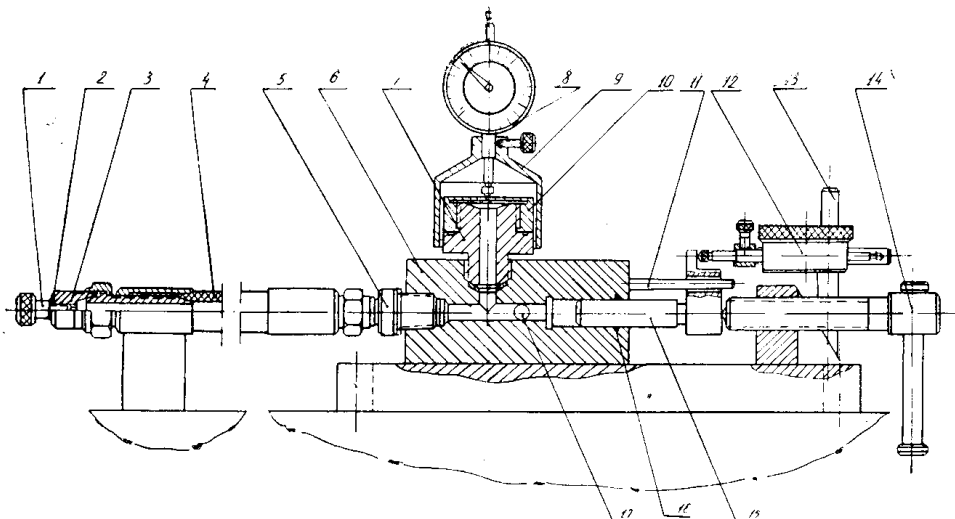


Рис. 1. Схема установки для исследования податливости гибких шлангов

равном 100 кг/см², и неподвижном плунжере 15 в течение 30 минут падение давления не наблюдалось.

Плунжер перемещался при помощи винта 14, причем угловая фиксация плунжера осуществлялась штифтом 11. Индикатор 12, закрепленный на стойке 13, фиксировал перемещение плунжера, т. е. величину приращения объема шланга ΔW_0 . Приращение давления в системе фиксировалось по индикатору 8. Значение $k(p)$ подсчитывалось для интервалов давлений, равных 2 кг/см² по формуле

$$k(p) = \frac{\Delta W}{\Delta p} \cdot \frac{1}{W_0} = \frac{\Delta W}{2W_0}. \quad (3)$$

При этом величина ΔW бралась с учетом приращений объема, вызванных сжимаемостью жидкости, наполняющей полости корпуса 6 и мембранны датчика 7, и деформацией мембранны 10.

Перед началом каждого испытания через систему прокачивалась рабочая жидкость, нагнетаемая насосной станцией, которая подсоединялась к корпусу 6 через отверстие 17 и герметичный кран высокого давления (на рис. 1 кран не показан). Из шланга жидкость стравливалась через отверстие в пробке 3. После прогрева рабочей жидкости до температуры 40°C отверстие в пробке 3 перекрывалось винтом 1 при работающей насосной станции (переливной клапан которой настраивался на давление несколько меньшее, чем нижнее значение давления исследуемого диапазона).

Затем регулировкой клапана насосной станции давление поднималось до требуемой величины, насосная станция отключалась от полости корпуса 6 краном.

Перемещением плунжера 15 давление в шланге увеличивалось на $2 \text{ кг}/\text{см}^2$, по индикатору 12 фиксировалось перемещение плунжера Δl и подсчитывалось значение ΔW :

$$\Delta W = \frac{\pi d_n^2}{4} \Delta l. \quad (4)$$

Была исследована податливость следующих шлангов:

СРТИ П $\varnothing 20 - 150 \text{ ати}$, ГОСТ 6286 - 60, $L=1750$;
ДСНХ П $\varnothing 16 - 165 \text{ ати}$, ГОСТ 6286 - 60, $L=540$; и $L=1280$

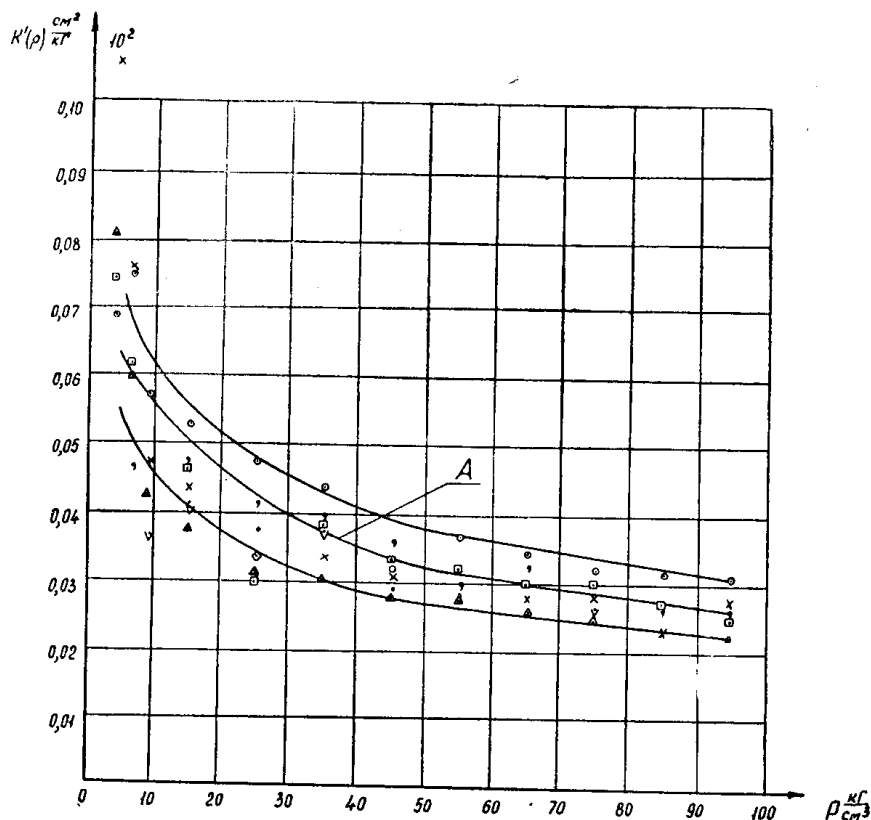


Рис. 2. Зависимость коэффициента $\kappa(p)$ от давления в шланге. Значками обозначены значения $\kappa(p)$ для шлангов:

СРТИ П $\varnothing 20 - 150 \text{ ати}$, $L = 1750$ — \triangle ,
ДСНХ П $\varnothing 16 - 165 \text{ ати}$, $L = 540$ — \times ,
ДСНХ П $\varnothing 16 - 165 \text{ ати}$, $L = 1280$ — \cdot ,
ЛРТИ $\varnothing 12 - 210 \text{ ати}$, $L = 590$ — \vee ,
ЛРТИ $\varnothing 20 - 150 \text{ ати}$, $L = 510$ — (\odot) ,
22Г10 — 150С, $L = 180$ — $-$,
24Г12 — 150С, $L = 180$ — $| \cdot |$

ЛРТИ $\varnothing 12 - 210 \text{ АТИ}$, ГОСТ 6286-60 $L=590$;

ЛРТИ $\varnothing 20 - 150 \text{ АТИ}$, ГОСТ 6286-60 $L = 510$;

24Г12 — 150С, $\varnothing 12$, $L = 1800$ и 22Г10 — 150С, $\varnothing 10$, $L = 1800$.

Результаты исследования приведены на рис. 2 и позволяют следующие выводы:

1. Значение коэффициента податливости $\kappa(p)$ для шлангов испытанных типов и размеров располагаются в достаточно узкой полосе значений, что позволяет рекомендовать данные рис. 2 для расчетов податливости шлангов любых размеров данных типов, при этом может быть использована кривая A на рис. 2.

2. В области низких давлений ($1 \div 5 \text{ кг}/\text{см}^2$) величина $\kappa(p)$ в несколько раз превосходит значение $\kappa(p)$ для диапазона $10 \div 15 \text{ кг}/\text{см}^2$ и выше.

3. Если при работе гидросистемы давление в шлангах изменяется в широком диапазоне, включающем область низких давлений, анализ динамических процессов должен проводиться с учетом нелинейной зависимости коэффициента $\kappa(p)$ от давления p , представленной на рис. 2.

ЛИТЕРАТУРА

1. Т. М. Башта. Машиностроительная гидравлика. Машгиз, 1963.
2. И. З. Зайченко. Автоколебания в гидропередачах металлорежущих станков. Машгиз, 1958.
3. Б. Л. Коробочкин. Выбор оптимальных параметров гидравлических следящих систем копировальных станков. Станки и инструмент, № 6, 1956.
4. В. А. Лещенко. Следящие гидравлические приводы для автоматизации станков. Машгиз, 1962.
5. Е. М. Хаймович. Гидроприводы и гидроавтоматика металлорежущих станков. Машгиз, 1959.
6. И. А. Немировский, Ю. Я. Комисаренко. Анализ динамики насосных станций гидросистем станков. Известия ТПИ, Томск, 1964.